

東北大学 工学部 正員 多谷虎男
東北大学 工学部 正員 遠藤信賢

(i) まえがき

各種構造物の振動解析に対して衝撃弾性波の伝播機構、特にその位相速度の研究、解析は、振動体の固有振動数と密接に関連しているという意味において極めて重要な意義を有するのである。弾性波の位相速度については、周知の様な Elementary Theory による公式 $\sqrt{\frac{E}{\rho}}$ が、あるが、これは Poehhammer の理論で $\alpha/\lambda \rightarrow 0$ なる極限的な場合における位相速度に相当する。しかし、吾々の研究結果では、従来のこれらの公式とは異なる結論に達した。以下に、その概要について説明を行く。

(ii) 解析の概要

固体弾性体内の弾性波は、次の波動方程式を満足しなければならない。

$$\rho \frac{\partial^2 U}{\partial t^2} = \frac{G}{1-2\nu} \text{grad} \cdot \text{div} U + G \nabla^2 U + X \quad \text{--- ①}$$

ここで U : 変位ベクトル、 ρ : 密度、 ν : ポアソン比、 G : 剛性係数、 X : ボディフォース。

①式に、変位ポテンシャルの導入を行へば、($U = \text{grad} \phi + \text{rot} \psi$)

$$\begin{cases} \frac{\partial^2}{\partial t^2} \nabla^2 \phi = C_1 \nabla^4 \phi + \text{div} X & \text{--- ②-1} & C_1 = \sqrt{\frac{2G(1-\nu)}{\rho(1-2\nu)}} \\ \frac{\partial^2}{\partial t^2} \nabla^2 \psi = C_2 \nabla^4 \psi & \text{--- ②-2} & C_2 = \sqrt{\frac{G}{\rho}} \end{cases}$$

となる。ここで、 ϕ : スカラーポテンシャル、 ψ : ベクトルポテンシャル。

即ち、固体弾性体内の弾性波は、境界条件の如何を問わず、常に、②-1 ②-2 を満足しなければならない。②-1 で表わされる波を「ダイラテションウォーブ」、②-2 で表わされる波を「ローテーションウォーブ」と呼ぶ。

さて、丸棒に、集中荷重的な衝撃を与へた場合について考へる。右図の様な円柱座標系をとり、スカラーポテンシャル ϕ 、ベクトルポテンシャル ψ を、それぞれ、次の様に仮定する。

$$\phi = U_0(r) \exp\{i\{\alpha_1(l_1 r + m_1 z) - pt + \delta_1\}\} \quad \text{--- ③}$$

$$\psi = \begin{cases} \psi_r \\ \psi_\theta \\ \psi_z \end{cases} = \begin{cases} 0 \\ 1 \\ 0 \end{cases} V(r) \exp\{i\{\alpha_2(l_2 r + m_2 z) - pt + \delta_2\}\} \quad \text{--- ④}$$

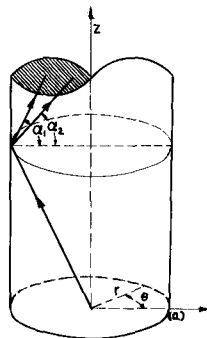
$$\begin{aligned} \because l_1 &= \cos \alpha_1, m_1 = \sin \alpha_1, l_2 = \cos \alpha_2, m_2 = \sin \alpha_2, m_1 r_1 = m_2 r_2 = r, \\ r_1 &= \frac{r}{C_1}, r_2 = \frac{r}{C_2}, r = \frac{r}{C} \quad \delta_1 = -\alpha_1 l_1 r, \delta_2 = -\alpha_2 l_2 r \end{aligned}$$

③ を ②-1 に代入、④ を ②-2 に代入して、それぞれ解く。

$$\phi = \{C_0 J_0(\alpha_1 r) + D_0 Y_0(\alpha_1 r) + K_0 J_0(\alpha_2 l_2 r) + L_0 Y_0(\alpha_2 l_2 r)\} \cdot \exp\{i\{\alpha_1 r - pt\}\} \quad \text{--- ⑤}$$

$$\psi = \begin{cases} 0 \\ 1 \\ 0 \end{cases} \{C J_1(\alpha_1 r) + D Y_1(\alpha_1 r) + K J_1(\alpha_2 l_2 r) + L Y_1(\alpha_2 l_2 r)\} \cdot \exp\{i\{\alpha_1 r - pt\}\} \quad \text{--- ⑥}$$

となる。しかるに、合成変位 U は、次の様になる。



$$U = \left\{ \begin{array}{l} -\sigma_1 l_1 \{ K_0 J_1(\sigma_1 l_1 r) + L_0 Y_1(\sigma_1 l_1 r) \} \\ 0 \\ i \sigma_1 \{ K_0 J_0(\sigma_1 l_1 r) + L_0 Y_0(\sigma_1 l_1 r) \} \end{array} \right\} + \left\{ \begin{array}{l} -i \sigma_2 \{ K J_1(\sigma_2 l_2 r) + L Y_1(\sigma_2 l_2 r) \} \\ 0 \\ \sigma_2 l_2 \{ K J_0(\sigma_2 l_2 r) + L Y_0(\sigma_2 l_2 r) \} \end{array} \right\} \exp\{i(\sigma z - pt)\} \quad \text{--- (7)}$$

⑦式、次の境界条件

① $\{\sigma_{rr}\}_{r=a} = 2G \left\{ \frac{\partial u_r}{\partial r} + \frac{\nu}{1-2\nu} \Delta \right\}_{r=a} = 0$ ② $\{\sigma_{r\theta}\}_{r=a} = G \left(\frac{\partial u_r}{\partial r} + \frac{\partial u_\theta}{\partial r} \right)_{r=a} = 0$

③ $\{\sigma_{r\theta}\}_{r=a} = G \left\{ \frac{1}{r} \frac{\partial u_r}{\partial \theta} + r \frac{\partial}{\partial r} \left(\frac{u_\theta}{r} \right) \right\}_{r=a} = 0$ 代入して解く。ここで条件①は常に

成り立つ。(∵ U は変数 θ を含まない。 U_0 は常に 0 である) しかるに、条件①、②から

$$\left\{ \left(r^2 - \frac{\sigma_1^2}{2} \right) J_0(\sigma_1 l_1 a) - \frac{1}{a} J_0'(\sigma_1 l_1 a) \right\} K_0 + \left\{ \left(r^2 - \frac{\sigma_2^2}{2} \right) Y_0(\sigma_2 l_2 a) - \frac{1}{a} Y_0'(\sigma_2 l_2 a) \right\} L_0 - i \sigma_1 \{ K J_1'(\sigma_2 l_2 a) + L Y_1'(\sigma_2 l_2 a) \} = 0 \quad \text{--- (8)}$$

$$-2i \sigma_1 l_1 K_0 J_1(\sigma_1 l_1 a) - 2i \sigma_1 L_0 Y_1(\sigma_1 l_1 a) + (\sigma_1^2 - \sigma_2^2) \{ K J_1(\sigma_2 l_2 a) + L Y_1(\sigma_2 l_2 a) \} = 0 \quad \text{--- (9)}$$

を得る。⑧、⑨式は、4個の積分定数を含んでいるので、常に満足されているのが解るが、更に実際の位相速度がどの様になるかについて、次の5つの場合

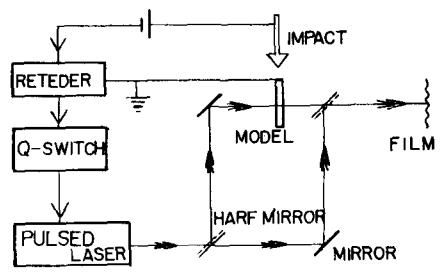
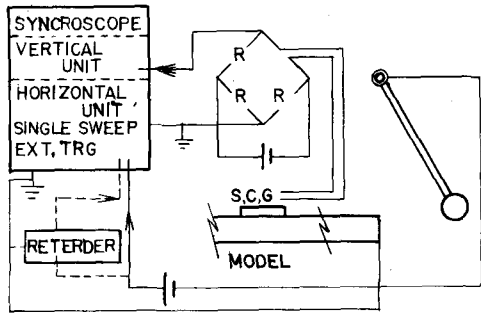
① $r = \frac{P}{C} < r_1 = \frac{P}{C_1} < r_2 = \frac{P}{C_2}$ ② $r = \frac{P}{C} = r_1 = \frac{P}{C_1} < r_2 = \frac{P}{C_2}$ ③ $r_1 = \frac{P}{C_1} < r = \frac{P}{C} < r_2 = \frac{P}{C_2}$

④ $r_1 = \frac{P}{C_1} < r = \frac{P}{C} = r_2 = \frac{P}{C_2}$ ⑤ $r_1 = \frac{P}{C_1} < r_2 = \frac{P}{C_2} < r = \frac{P}{C}$ ⑥ $r_1 = \frac{P}{C_1} < r_2 = \frac{P}{C_2} < r = \frac{P}{C}$

に分けて考えると、見かけ上の位相速度でなく、互方向の実際の位相速度は、常に C_1 又は、それ以下であることが、解る。

iii) 実験

(1) 方法 (A) Semi-Conductor Gage による方法 (B) Mach-Zehnder 干渉計による方法



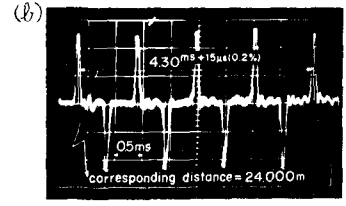
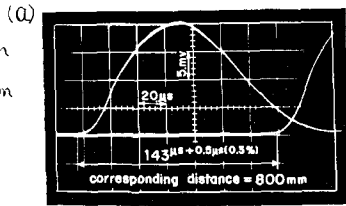
(2) 結果

MODEL: 丸金鋼 $\phi = 30 \text{ mm}$ $L = 3,000 \text{ mm}$

(a) ゲージ位置 $2,000 \text{ mm}$, $2,800 \text{ mm}$

(b) " $1,500 \text{ mm}$

他は、当日スライドにて発表する



参考文献

T. Taya "Tension wave theory in solid Elastic Body of Three Dimensions Part 1 ~ 5" The Technology Reports of Tohoku U. ni. Vol 36 No2 ~ Vol 39 No1.

H. Kobayashi "Stress wave in solid" Dover Publication Inc. New York 1963